

при  $a = 0,125$ ,  $b = 1$  равны 1,019 (1,024) и  $-0,344$  ( $-0,349$ ). В скобках приведены точные значения напряжений, полученные на основании работы [5]. При вычислениях оказалось достаточным удерживать в рядах три-четыре члена.

#### СПИСОК ЛИТЕРАТУРЫ

1. Шерман Д. И. О напряженном состоянии некоторых запрессованных деталей.— Изв. АН СССР. ОТН, 1948, № 9, с. 1371—1389.
2. Амен-заде Ю. А. Напряженная посадка в случае плоской задачи и вдавливание штампа в многосвязную полуплоскость.— В кн.: Развитие теории контактных задач в СССР. М.: Наука, 1976. с. 411—446.
3. Мусхелишвили Н. И. Некоторые основные задачи математической теории упругости.— М.: Наука, 1966.— 707 с.
4. Максимович В. Н., Пляцко Г. В. Применение метода инверсии к определению напряжений в неоднородных телах.— Прикл. механика, 1974, 10, № 10, с. 70—76.
5. Черепанов Г. П., Кочаров Р. С.; Соткилава О. В. Об одном трещиновидном дефекте в упругой плоскости.— Прикл. механика, 1977, 13, № 2, с. 48—55.

Институт прикладных проблем  
механики и математики АН УССР

Поступила в редколлегию  
20.02.78

УДК 539.3

А. И. Жалило

#### ВЛИЯНИЕ ПОДКРЕПЛЯЮЩИХ ЭЛЕМЕНТОВ НА НАПРЯЖЕННОЕ СОСТОЯНИЕ ВОЗЛЕ КРИВОЛИНЕЙНЫХ ОТВЕРСТИЙ В ТРЕХСЛОЙНОЙ СФЕРИЧЕСКОЙ ОБОЛОЧКЕ

В реальных конструкциях с целью снижения концентрации напряжений контуры отверстий подкрепляются упругими элементами. Рассмотрим трехслойную сферическую оболочку с легким заполнителем, ослабленную произвольным криволинейным подкрепленным отверстием. Оболочка находится под действием постоянной внешней нагрузки. Примем, что подкрепляющее ребро представляет собой тонкую упругую нить, обладающую жесткостями на изгиб и растяжение. Такую расчетную схему больше всего можно применять в конструкциях подкреплений, в которых линия центров тяжести подкрепляющего элемента лежит в срединной поверхности оболочки. Если отверстие закрыто упругой крышкой, можно использовать эту расчетную схему, приняв, что кольцо имеет некоторые приведенные жесткостные характеристики.

Напряженно-деформированное состояние такой оболочки описывается системой дифференциальных уравнений, приведенной в работе [1]. Усилия, моменты и перемещения до второго приближения выражаются формулами

$$\begin{aligned}
 N_n &= \sum A_{0,i} \frac{1}{r} H'_{0,i} + \frac{p}{r^2} - \frac{qR}{2} + \varepsilon \left\{ \sum A_{N+1,i} \times \right. \\
 &\times \left[ \frac{1}{r} H'_{N+1,i} - \frac{(N+1)^2}{r^2} H_{N+1,i} \right] + \sum A_{0,i} \left[ H''_{0,i} - \frac{1}{r} H'_{0,i} \right] - \\
 &\quad \left. - \frac{(N+1)(N+2)}{r^2} b_{N+1} + \frac{N(N+3)}{r^2} p \right\} \cos(N+1)\theta, \\
 N_s &= \sum A_{0,i} H''_{0,i} - \frac{p}{r^2} - \frac{qR}{2} + \varepsilon \left\{ \sum A_{N+1,i} H''_{N+1,i} + \sum A_{0,i} r H''_{0,i} + \right. \\
 &\quad \left. + \frac{(N+1)(N+2)}{r^2} b_{N+1} - \frac{N(N+3)}{r^2} p \right\} \cos(N+1)\theta, \\
 -RM_n &= \sum A_{0,i} \left\{ \nu H_{0,i} + \frac{1-\nu}{\chi^2} [(k_i^2 + d) H''_{0,i} + (-1)^i \lambda_2^2 H''_{0,i}] \right\} +
 \end{aligned}$$

$$\begin{aligned}
& + \varepsilon \left\{ \sum A_{N+1,i} \left[ v H_{N+1,i} + \frac{1-v}{x^2} ((k_i^2 + d) H''_{N+1,i} + (-1)^i \lambda_2^2 H''_{0,k}) \right] + \right. \\
& \quad \left. + \sum A_{0,i} r \left[ v H'_{0,i} + \frac{1-v}{x^2} [(k_i^2 + d) H''_{0,i} + (-1)^i \lambda_2^2 H''_{0,k}] \right] + \right. \quad (1) \\
& + R(1-v)(N+1) C_{N+1} K'_{N+1} (\lambda_3 r) + \frac{R^2(N+1)(N+2)}{1+v} a_{N+1} \Big\} \cos(N+1)\theta, \\
& - R M_s = \sum A_{0,i} \left\{ H_{0,i} - \frac{1-v}{x^2} [(k_i^2 + d) H'_{0,i} + (-1)^i \lambda_2^2 H'_{0,k}] + \right. \\
& \quad \left. + \varepsilon \left\{ \sum A_{N+1,i} H_{N+1,i} - \frac{1-v}{x^2} [(k_i^2 + d) H_{N+1,i} + (-1)^i \lambda_2^2 H'_{N+1,k}] + \right. \right. \\
& \quad \left. \left. + \sum A_{0,i} r H'_{0,i} - \frac{1-v}{x^2} [(k_i^2 + d) H'''_{0,i} + (-1)^i \lambda_2^2 H'''_{0,k}] - \right. \right. \\
& - R(1-v)(N+1) C_{N+1} K'_{N+1} (\lambda_3 r) - \frac{R^2(N+1)(N+2)}{r^2(1+v)} a_{N+1} \Big\} \cos(N+1)\theta; \\
& - \frac{2E\tau}{1+v} U_n = \sum A_{0,i} H'_{0,i} + \frac{\rho}{r} + \frac{1-v}{2(1+v)} q R r + \varepsilon \left\{ \sum A_{N+1,i} H'_{N+1,i} + \right. \\
& \quad \left. + \sum A_{0,i} r H'_{0,i} - \frac{N+1}{r} b_{N+1} + \frac{r}{H^2 N(1+v)} a_{N+1} + \right. \\
& \quad \left. + \frac{N}{r} \rho + \frac{1-v}{2(1+v)} q R r \right\} \cos(N+1)\theta, \\
Dx^2 V_n = \sum A_{0,i} [(k_i^2 + d) H'_{0,i} + (-1)^i \lambda_2^2 H'_{0,k}] + \varepsilon \left\{ \sum A_{N+1,i} [(k_i^2 + d) H'_{N+1,i} + \right. \\
& \quad \left. + (-1)^i \lambda_2^2 H'_{N+1,k}] + \sum A_{0,i} r [(k_i^2 + d) H''_{0,i} + (-1)^i \lambda_2^2 H''_{0,k}] + \right. \\
& \quad \left. + R x^2 (N+1) C_{N+1} K_{N+1} (\lambda_3 r) - \frac{R^2 x^2 (N+1)}{r} d_{N+1} \right\} \cos(N+1)\theta, \\
\frac{2E\tau}{1+v} U_s = \varepsilon (N+1) \left\{ \sum A_{N+1,i} \frac{1}{r} H_{N+1,i} + \sum A_{0,i} H_{0,i} + \frac{1}{r} b_{N+1} + \right. \\
& \quad \left. + \frac{r}{H^2 N(N+1)(1+v)} a_{N+1} + \frac{q R r}{2(1+v)} \right\} \sin(N+1)\theta, \\
\frac{2E\tau}{R} \omega = \sum A_{0,i} [\lambda_1^2 H_{0,i} + (-1)^i \lambda_2^2 H_{0,k}] + \varepsilon \left\{ \sum A_{N+1,i} [\lambda_1^2 H_{N+1,i} + \right. \\
& \quad \left. + (-1)^i \lambda_2^2 H_{N+1,k}] + \frac{1}{r^N} \left[ \sum A_{0,i} (\lambda_1^2 H'_{0,i} + (-1)^i \lambda_2^2 H'_{0,k}) + \right. \right. \\
& \quad \left. \left. + \frac{1}{H^2 r} d_{N+1} \right] \right\} \cos(N+1)\theta.
\end{aligned}$$

Суммирование ведется по  $i = 1, 2$ ;  $k = 2$ , если  $i = 1$ , и  $k = 1$ , если  $i = 2$ .  
Здесь введены обозначения:

$$\begin{aligned}
H_n^{(1)}(\lambda r) &= H_{n,1} + i H_{n,2}, \quad \frac{d}{dr} H_n^{(1)}(\lambda r) = H'_{n,1} + i H'_{n,2}, \\
\frac{d^2}{dr^2} H_n^{(1)}(\lambda r) &= H''_{n,1} + i H''_{n,2}, \quad \frac{d^3}{dr^3} H_n^{(1)}(\lambda r) = H'''_{n,1} + i H'''_{n,2}, \\
H'_{n,1} &= -\lambda_1 H_{n+1,1} + \lambda_2 H_{n+1,2} + \frac{n}{r} H_{n,1}, \\
H'_{n,2} &= -\lambda_1 H_{n+1,2} - \lambda_2 H_{n+1,1} + \frac{n}{r} H_{n,2}, \\
H''_{n,1} &= \left[ -\lambda_1^2 + \frac{n(n-1)}{r^2} \right] H_{n,1} + \lambda_2^2 H_{n,2} + \frac{\lambda_1}{r} H_{n+1,1} - \frac{\lambda_2}{r} H_{n+1,2}, \\
H''_{n,2} &= \left[ -\lambda_1^2 + \frac{n(n-1)}{r^2} \right] H_{n,2} - \lambda_2^2 H_{n,1} + \frac{\lambda_1}{r} H_{n+1,2} + \frac{\lambda_2}{r} H_{n+1,1},
\end{aligned} \quad (2)$$

$$\lambda_3^2 = \frac{2G_0}{Bh(1-\nu^2)}, \quad H = h + \frac{\tau}{2}, \quad d = \frac{Bh}{G_0} \kappa^2,$$

$$\kappa^2 = \frac{1-\nu^2}{R^2 H^2}, \quad k_1 = k_2 = \lambda_1^2, \quad i = \sqrt{-1}.$$

Все остальные обозначения совпадают с введенными в работе [1].

Используя данные работ [2, 3], записываем граничные условия для приведенных компонент напряженного состояния трехслойной сферической оболочки в виде

$$N_n m - \tilde{\Theta}_n l = E_1 F \left[ \frac{m}{\rho^2} U_n - \frac{l}{\rho^2} \omega + \frac{1}{\rho} \frac{\partial U_s}{\partial s} \right] + \\ + B \left[ \frac{\partial^4}{\partial s^4} (m U_n) - \frac{\partial^3}{\partial s^3} \frac{U_s}{\rho} - \frac{\partial^4}{\partial s^4} (l \omega) \right],$$

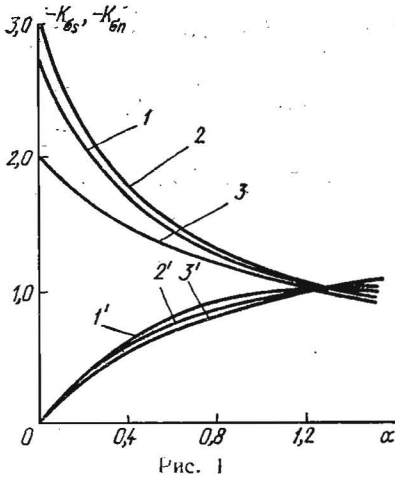


Рис. 1

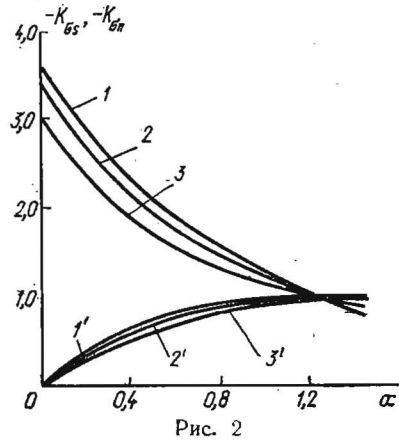


Рис. 2

$$N_{ns} = -EF \left[ \frac{\rho}{\partial s} \frac{m U_n}{\rho} - \frac{\partial}{\partial s} \frac{l \omega}{\rho} + \frac{\partial^2 U_s}{\partial s^2} \right] + \frac{B}{\rho} \left[ \frac{\partial^3}{\partial s^3} (m U_n - l \omega) - \right. \\ \left. - \frac{\partial^2}{\partial s^2} \left( \frac{U_s}{\rho} \right) \right],$$

$$M_n = -\frac{A}{\rho} \left[ -\frac{\partial}{\partial s^2} (l U_n + m \omega) + \frac{1}{\rho} \frac{\partial \omega}{\partial n} + \frac{1}{\rho} \frac{U_n}{R} \right] + \quad (3) \\ + C \left[ \frac{\partial^2 \omega}{\partial s^2 \partial n} - \frac{\partial}{\partial s} \left( \frac{1}{\rho} \frac{\partial m \omega}{\partial s} \right) \right],$$

$$N_n l + \tilde{\Theta}_n m = C \left[ \frac{\partial}{\partial s} \left( \frac{1}{\rho} \frac{\partial^2 \omega}{\partial s \partial n} - \frac{\partial}{\partial s} \left( \frac{1}{\rho^2} \frac{\partial m \omega}{\partial s} \right) \right) \right] + \\ + A \left[ \frac{\partial^4}{\partial s^4} (l U_n + m \omega) + \frac{\partial^3}{\partial s^3} \left( \frac{1}{\rho} \frac{\partial \omega}{\partial n} \right) + \frac{\partial^2}{\partial s^2} \left( \frac{1}{\rho} \frac{U_n}{R} \right) \right] + Q^0.$$

Подставив выражения для усилий, моментов и перемещений в форме (1) в граничные условия (3), получим систему алгебраических уравнений для определения постоянных интегрирования. Нулевое приближение компонент напряженного состояния и система алгебраических уравнений в нулевом приближении дают решение задачи о подкреплении кругового отверстия: при  $N = 1$  и  $\varepsilon = (a-b)/(a+b)$  — эллиптического, при  $N = 2$  и  $\varepsilon = \pm 1/4$  — треугольного, а при  $N = 3$  и  $\varepsilon = \pm 1/9$  — квадратного отверстий.

В качестве примера рассмотрим оболочку с параметрами  $R = 100$  см,  $r_0 = 10$  см,  $2h = 2$  см,  $\tau = 0,2$  см. Оболочка ослаблена подкрепленным эллиптическим отверстием, в котором  $r_0 = (a+b)/2$ .

На рис. 1, 2 приведены кривые зависимости коэффициентов концентрации окружных (1, 2, 3) и радиальных (1', 2', 3') напряжений от жесткости ха-

рактических кольца, подкрепляющего круговое (рис. 1) и эллиптическое (рис. 2) отверстия.

Отношение модуля упругости несущих слоев к модулю сдвига заполнителя равно  $10^3$ ,  $a/b = 1, 3$ . Кривым 1, 2, 3 и 1', 2', 3' соответствуют значения  $A = 10^{-4}$ ;  $10^{-2}$ ; 1,0. Жесткостные характеристики определяются по формулам

$$C = \frac{1,134}{1 + \nu} A', \quad \alpha = \frac{E_1 F}{2E\tau r_0}, \quad A' = \frac{E_1 I_x}{2E\tau r_0^3}, \quad B = \frac{E_1 I_y}{2E\tau r_0^3}.$$

Сравнивая результаты, можно сделать такой вывод: при расчетах на прочность конструкций, элементами которых являются трехслойные оболочки с круговыми или эллиптическими вырезами, в случае свободных контуров необходимо учитывать значение коэффициента концентрации окружных напряжений, а в случае подкрепления контуров кольцами большой жесткости — значение коэффициента концентрации радиальных напряжений. Подбором кольца с жесткостной характеристикой  $\alpha = 1,2$  можно достигнуть равнонапряженного состояния оболочки.

#### СПИСОК ЛИТЕРАТУРЫ

1. Ван Фо Фы Г. А., Жалило А. И. Равновесие трехслойных сферических оболочек с овальным вырезом. — В кн.: Расчеты и конструирование изделий из стеклопластиков. Киев: Наук. думка, 1972, с. 63—80.
2. Гузь А. Н., Чернышенко И. С., Шнеренко К. И. Сферические днища, ослабленные отверстиями. — Киев: Наук. думка, 1970. — 322 с.
3. Савин Г. Н., Флейшман Н. П. Пластинки и оболочки с ребрами жесткости. — Киев: Наук. думка, 1964. — 384 с.

Институт механики АН УССР

Поступила в редколлегию  
20.02.78

УДК 517.946 : 539.31

М. П. Ленюк, Л. К. Шеляг

#### НАПРЯЖЕННОЕ СОСТОЯНИЕ УПРУГОГО ПОЛОГО СИММЕТРИЧНОГО ТЕЛА ПРИ СЛУЧАЙНЫХ ТЕПЛОВЫХ ВОЗДЕЙСТВИЯХ

Рассмотрим упругое изотропное покое однородное симметричное тело протяженности  $[R_1, R_2]$ , имеющее при  $t < 0$  всюду нулевую температуру, а при  $t > 0$  на поверхностях  $r = R_k$  ( $k = 1, 2$ ) осуществляется теплообмен по обобщенному закону Ньютона со средой, температура которой на поверхностях  $r = R_k$  равна  $T_k(t)$  ( $k = 1, 2$ ). Пусть а)  $T_k(t)$  — стационарные в широком смысле функции времени [5], причем реализации функций  $T_k(t)$  выходят из нуля, т. е.  $T_k(0) = 0$  с вероятностью единица; б) поверхности тела свободные от радиальных напряжений; в) в теле равномерно распределены тепловые источники, интенсивность которых также является случайной функцией времени.

Случайное температурное поле в рассматриваемом теле описывает функция  $T(r, t)$ , являющаяся решением задачи [3]

$$b_0^2 \frac{\partial^2 T}{\partial r^2} + b_1^2 \frac{\partial T}{\partial t} - a^2 \left( \frac{\partial^2}{\partial r^2} + \frac{2\alpha + 1}{r} \frac{\partial T}{\partial r} \right) = f(r, t),$$

$$T|_{t=0} = 0, \quad \frac{\partial T}{\partial t} \Big|_{t=0} = 0, \tag{1}$$

$$B_k T|_{r=R_k} = \left( h_{k1} \frac{\partial}{\partial r} + h_{k2} \frac{\partial}{\partial t} + h_{k3} \right) T_k|_{r=R_k} = \varphi_k(t), \quad k = 1, 2.$$